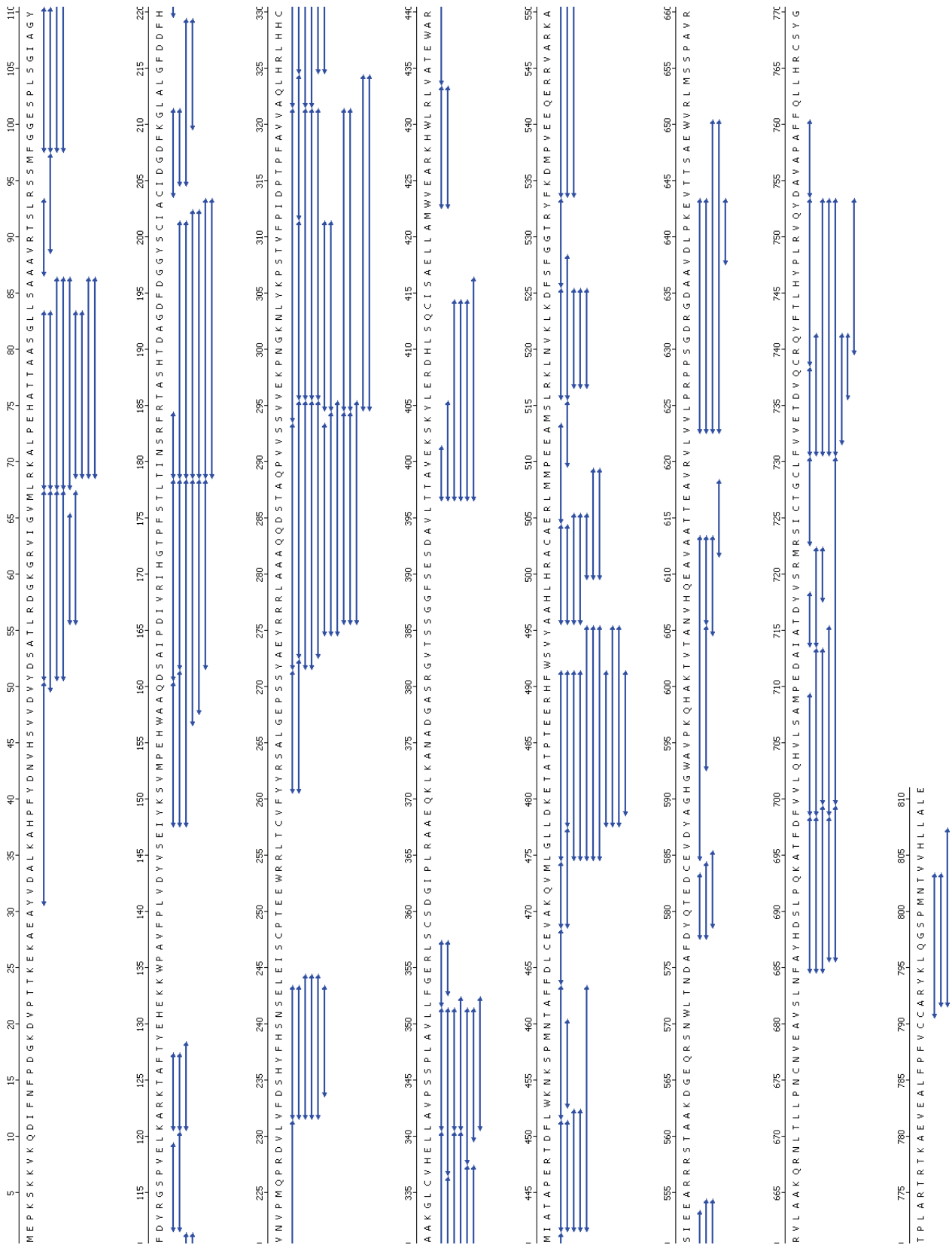


JBP ± Jbase DNA

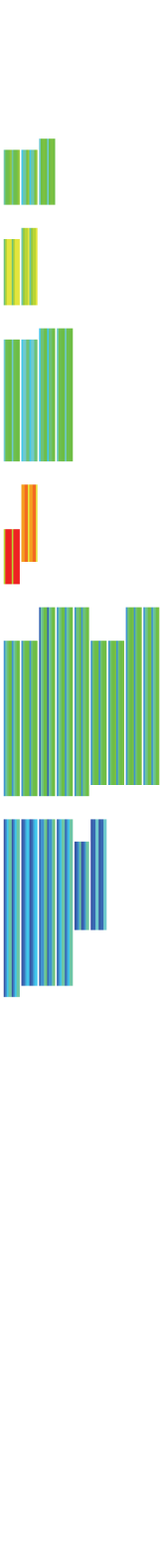
Revised data analysis January 2010

JBP sequence coverage

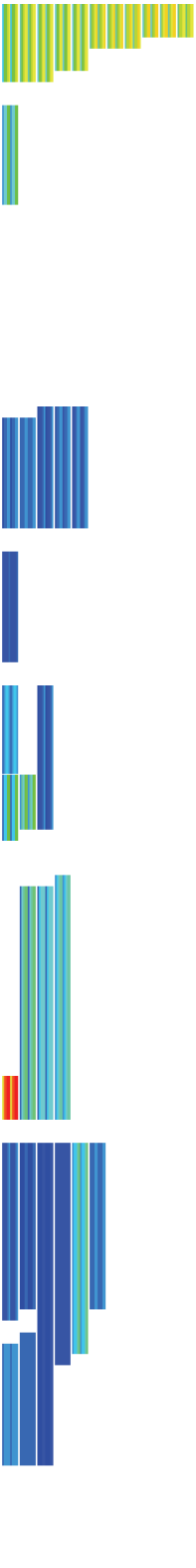


JBP H/D exchange

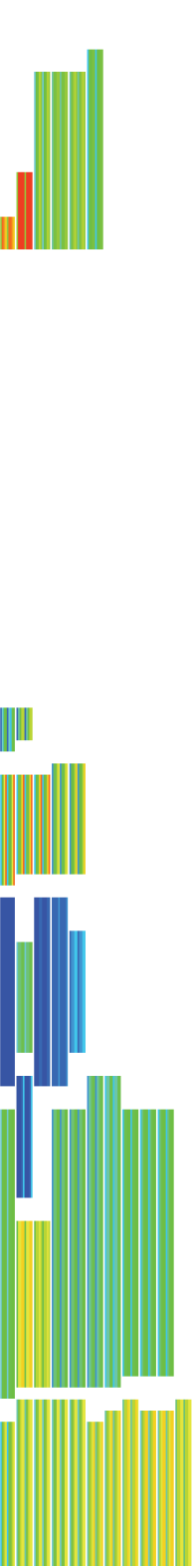
5 10 15 20 25 30 35 40 45 50 55 60 65 70 75 80 85 90 95 100 105 110 115 120 125 130 135 140 145



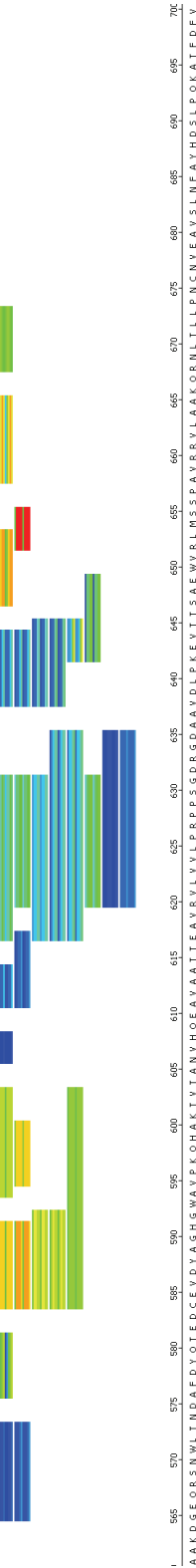
1 145 150 155 160 165 170 175 180 185 190 195 200 205 210 215 220 225 230 235 240 245 250 255 260 265 270 275 280 285



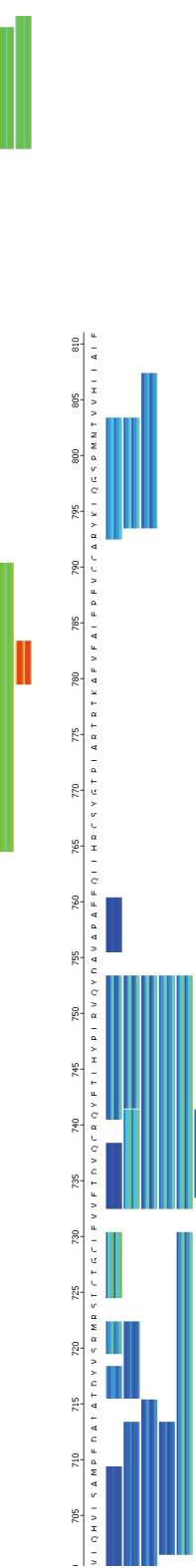
1 285 290 295 300 305 310 315 320 325 330 335 340 345 350 355 360 365 370 375 380 385 390 395 400 405 410 415 420 425



1 425 430 435 440 445 450 455 460 465 470 475 480 485 490 495 500 505 510 515 520 525 530 535 540 545 550 555 560 565



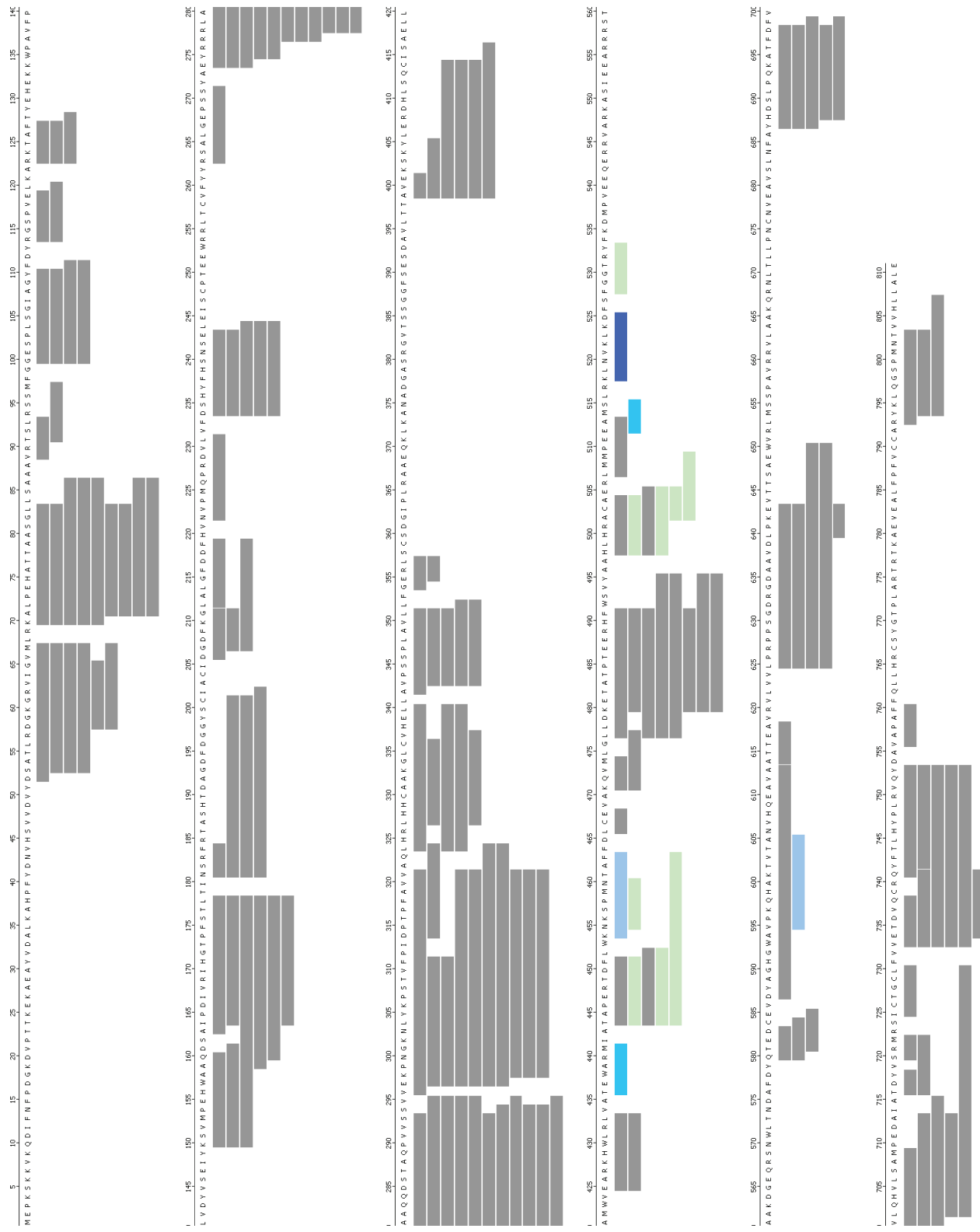
1 565 570 575 580 585 590 595 600 605 610 615 620 625 630 635 640 645 650 655 660 665 670 675 680 685 690 695 700 705



1 705 710 715 720 725 730 735 740 745 750 755 760 765 770 775 780 785 790 795 800 805 810 815

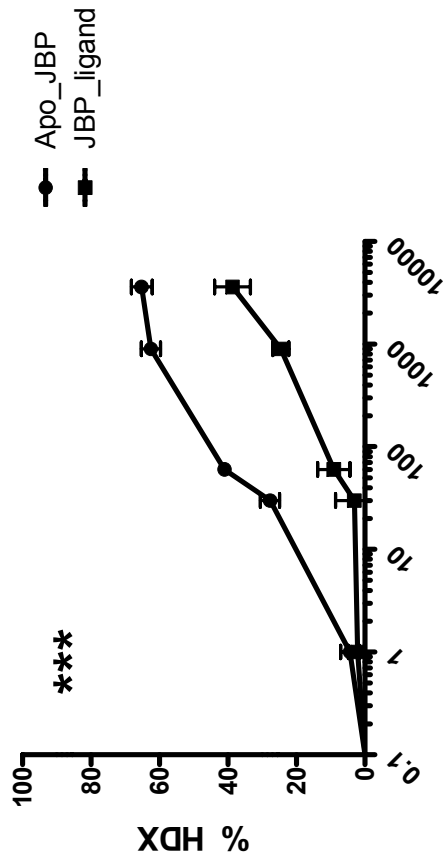


JBP H/D exchange ± DNA

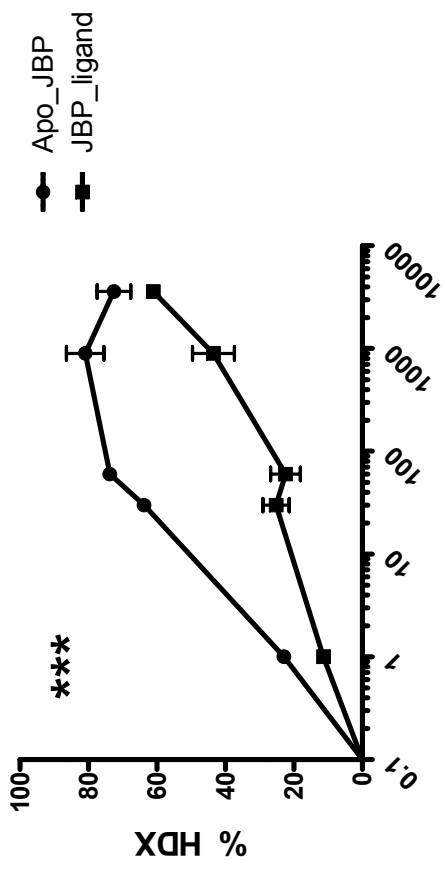


Sequence	Z	Start	End	% Change	Std	272	293	-1	1
YAEYRRRLAAQQDSTAQPWVS	3	50	67	-1	1	272	293	-1	1
YAEYRRRLAAQQDSTAQPWSSV	2	51	67	-1	1	272	295	-3	1
YAEYRRRLAAQQDSTAQPWSSV	3	51	67	-1	2	273	295	-2	1
AEYRRRLAAQQDSTAQPWSSV	2	51	67	-1	1	273	295	-1	1
AEYRRRLAAQQDSTAQPWSSV	3	51	67	-2	1	273	295	-1	1
YRRRLAAQQDSTAQPWVS	3	56	65	-1	1	275	293	-1	2
YRRRLAAQQDSTAQPWSS	3	56	67	-1	1	275	294	-1	2
YRRRLAAQQDSTAQPWSSV	2	68	83	0	1	275	295	-1	2
YRRRLAAQQDSTAQPWSS	3	68	83	-1	1	276	294	-1	1
RRRLAAQQDSTAQPWSS	2	68	86	-1	1	276	294	0	1
RRRLAAQQDSTAQPWSS	3	68	86	-1	1	276	295	-1	1
RRRLAAQQDSTAQPWSSV	4	68	86	-2	2	294	321	-1	1
SVVEKPNKLYKPSTVFPIDTPFAVV	2	69	83	-1	2	295	311	-1	2
VVEKPNKLYKPSTV	3	69	83	-2	2	295	311	0	2
VVEKPNKLYKPSTVFPIDTPFAVV	4	69	86	-1	1	295	321	-1	1
VVEKPNKLYKPSTVFPIDTPFAVV	3	69	86	-1	1	295	321	-1	1
VVEKPNKLYKPSTVFPIDTPFAVV	4	69	86	-1	1	295	321	-1	1
VVEKPNKLYKPSTVFPIDTPFAVV	3	87	93	1	3	295	324	-1	1
VVEKPNKLYKPSTVFPIDTPFAVV	4	87	93	-4	4	295	324	-1	1
VVEKPNKLYKPSTVFPIDTPFAVV	2	89	97	-1	1	296	321	0	1
VVEKPNKLYKPSTVFPIDTPFAVV	1	98	110	-1	1	296	321	0	1
VVEKPNKLYKPSTVFPIDTPFAVV	2	98	110	0	1	296	321	0	1
VVEKPNKLYKPSTVFPIDTPFAVV	1	98	111	-2	1	296	321	-1	1
VVEKPNKLYKPSTVFPIDTPFAVV	2	98	111	-2	2	312	324	-1	1
DYRGSFVE	2	112	119	-2	2	322	340	1	1
DYRGSFVEL	1	112	120	-2	2	322	340	0	1
KARKTAF	1	121	127	-1	3	322	340	0	1
KARKTAF	2	121	127	-4	1	325	336	0	3
KARKTAF	2	121	128	-2	1	325	337	-1	2
IKYSVMPEHWAQ	3	148	160	-1	1	340	351	-1	3
IKYSVMPEHWAQD	3	148	161	-1	1	341	351	0	2
IKYSVMPEHWAQD	3	148	178	-1	0	341	351	0	2
IKYSVMPEHWAQD	3	157	178	-1	0	341	352	0	1
WAAQD	3	158	178	0	1	341	352	-2	2
AAQD	3	161	178	-1	0	352	357	0	3
DSAI	3	162	178	-1	0	353	357	-3	3
SAIP	3	162	178	-1	1	397	401	1	2
SAIP	2	179	184	0	3	397	405	1	2
TINSRF	2	179	201	-1	1	397	414	1	2
TINSRFTASH	2	179	201	-1	1	397	414	1	2
TINSRFTASH	3	179	201	-1	1	397	414	1	2
TINSRFTASH	3	179	201	-1	2	397	414	0	1
TINSRFTASH	3	204	211	-2	1	397	416	1	1
CIDGDFKG	2	205	211	-1	2	423	433	-2	0
IDGDFKG	2	205	219	-1	1	423	433	-2	0
IDGDFKGLALGDFDF	2	210	219	-1	2	434	441	-23	4
KGLALGDFDF	2	220	231	-1	0	442	451	-5	2
HVNVP	2	232	243	-1	2	442	451	-8	2
VFDSHYFHSNSE	3	232	243	-1	1	442	452	-4	2
VFDSHYFHSNSE	3	232	244	-1	1	442	452	-8	2
VFDSHYFHSNSE	1	232	244	-1	1	442	463	-9	1
VFDSHYFHSNSE	2	232	244	-1	0	442	463	-12	2
VFDSHYFHSNSE	3	232	244	-2	1	452	463	-12	2
YRSALGEPSS	2	261	271	-4	2	453	460	-5	2
FDLCE	1	261	271	-4	1	464	468	-4	1

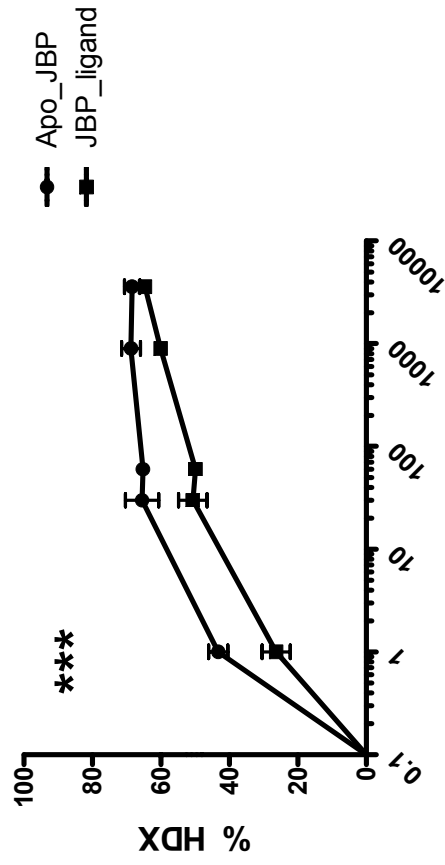
434-441 (+2)



516-525 (+3)



452-463 (+3)



593-605 (+3)

